

پالینولوژی و پالئوکولوژی سازند سرچشمۀ در برش روستای ددانلو - جنوب شرق قوچان (خراسان رضوی)

محسن علامه^{*}، حبیب الله توشیزیان^۱، نوید حبیب‌الله^۲

۱- استادیار گروه زمین‌شناسی، دانشکده علوم، دانشگاه آزاد اسلامی - واحد مشهد، ایران

۲- کارشناس ارشد چینه شناسی و فسیل شناسی، دانشکده علوم، دانشگاه آزاد اسلامی - واحد مشهد، ایران

*پست الکترونیک: allameh0277@mshdiau.ac.ir

تاریخ پذیرش: ۱۷/۵/۹۰

تاریخ دریافت: ۲۲/۲/۹۰

چکیده

سازند سرچشمۀ یکی از سازندهای کرتاسه زیرین حوضه رسوبی که داغ در شمال شرق ایران می‌باشد. رخمنوی از این سازند در برش روستای ددانلو مورد مطالعه قرار گرفته است. ضخامت این سازند در برش روستای ددانلو ۲۴۸ متر شامل مارن خاکستری و شیلهای خاکستری تیره رنگ همراه با میان لایه‌های نازکی از سنگ آهک می‌باشد. بر اساس مطالعات انجام شده ببروی ۱۳۵ اسلاید تهیه شده از ۲۷ نمونه برداشت شده از این سازند، مشخص گردید که بیشتر نمونه‌ها حاوی پالینومورف به ویژه داینوفلازله‌ها می‌باشند، که در آنها هر سه فرم کوریت، کویت و پروکسیمیت مشاهده می‌شود. در مجموع ۳۷ گونه مربوط به ۲۹ جنس از داینوفلازله‌ها به همراه تعدادی از اسپور و پولنها شناسایی شد. با توجه به داینوفلازله‌های شناسایی شده، سن آپتین برای سازند سرچشمۀ در برش ددانلو تعیین گردید. داینوفلازله‌های شناسایی شده در برش مطالعه شده، با بخشی از بیوزون شده، سن آپتین برای سازند سرچشمۀ در برش ددانلو تعیین گردید. داینوفلازله‌های شناسایی شده در برش مطالعه شده، با مواد آلی فاقد Odontochitina operculata انصباط دارد. بررسی سه گروه اصلی از عناصر پالینولوژیکی (فیتوکلاستها، پالینومورفهای دریایی و مواد آلی ساختمان) و نتایج حاصل از مطالعه آماری عوامل حفاظت از مواد آلی مانند نسبت SOM شفاف به SOM تیره، نسبت پالینوماسرال قهوه‌ای به پالینوماسرال اپک و نسبت SOM به پالینومورف دریایی نشان می‌دهد نرخ رسوب گذاری و میزان اکسیژن محیط متغیر بوده است. در نهایت بر اساس داینوفلازله‌های شاخص، محیط رسوبی سازند سرچشمۀ از نزیتیک داخلی تا نزیتیک خارجی متغیر بوده است.

واژه‌های کلیدی: سازند سرچشمۀ، داینوفلازله، ددانلو، محیط رسوبی، عناصر پالینولوژیکی.

مقدمه

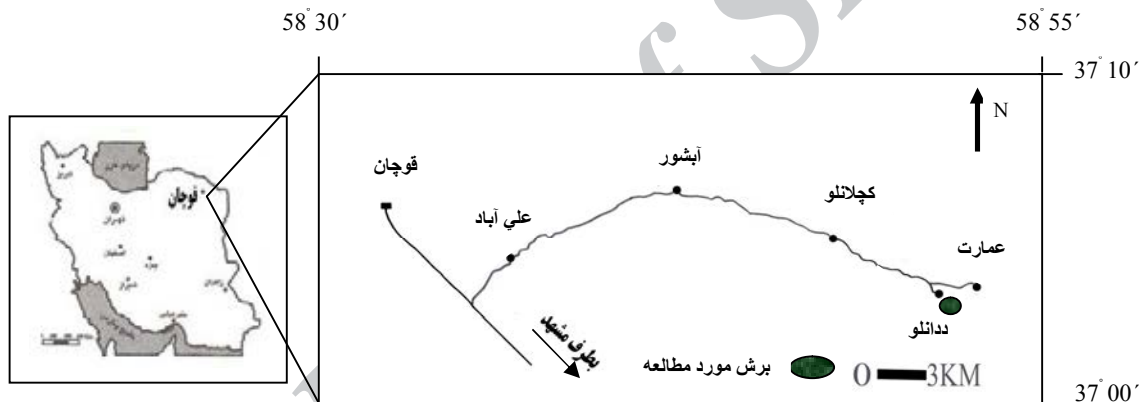
است. از محل برش الگو در دره خور، تا مرزهای شرقی کشور، در طول ۱۱۰ کیلومتر، سازند سرچشمۀ گسترش دارد. سنگ شناسی عمدۀ سازند سرچشمۀ شامل شیل، مارن و لایه‌های نازک سنگ آهک است. این سازند در نقاط مختلف براساس آمونیتها، روزن‌داران و نانوپلانکتونهای

سازند سرچشمۀ یکی از سازندهای کرتاسه زیرین حوضه رسوبی که داغ در شمال شرق ایران است. در یک نگاه کلی، ضخامت این سازند از شرق به غرب حوضه افزایش می‌یابد، اما تغییرات ضخامت و سنگ شناسی سازند سرچشمۀ در نقاط مختلف بسیار متغیر و در خور توجه

موقعیت جغرافیایی

برش ددانلو در جنوب شرق شهرستان قوچان و در محدوده‌ای با مختصات جغرافیایی "۵۲°۵۰' طول شرقی و "۳۷°۲۱' عرض شمالی قرار گرفته است (شکل ۱). برای رسیدن به رخنمونهای سازند سرچشمه در این برش باید در مسیر جاده مشهد - قوچان حرکت و پس از رسیدن به دو راهی در گر - تبارک در ۸ کیلومتری قوچان وارد جاده علی‌آباد در سمت راست جاده اصلی شد. سپس پس از طی مسافتی در حدود ۳۰ کیلومتر به دو راهی ددانلو - عمارت رسیده و از محل دوراهی تا محل برش مورد مطالعه حدود یک کیلومتر به سمت جنوب شرق حرکت کرد.

آهکی مورد بررسی قرار گرفته و حتی به صورت جزئی تر توسط پالینومورفها نیز مطالعه شده است. نمونه‌های برداشت شده از سازند سرچشمه در برش ددانلو، حاوی پالینومورف می‌باشند و تعداد و تنوع سیستم‌های داینوفلازلهای بر سایر گروههای پالینومورفی برتری دارند. هدف از انجام این مطالعه معرفی و شناسایی جنسهای و گونه‌های مختلف داینوفلازلهای، تعیین بایوزوناسیون و تعیین سن سازند سرچشمه در برش رستای ددانلو، تفسیر پالینوفاسیس‌های موجود بر اساس درصد عنانصر پالینولوژیکی، تفسیر محیط رسوبی و بررسی میزان اکسیژن سازند در برش مذکور می‌باشد.



شکل ۱- نقشه موقعیت جغرافیایی و راههای دسترسی به برش مورد مطالعه

استفاده از روش تراورس (۲۰۰۷)، اسلایدهای پالینولوژیکی تهیه شد. برای از بین بردن کربنات کلسیم، مقدار ۱۰۰ گرم از هر نمونه به مدت ۲۴ ساعت در اسید کلریدریک ۱٪ از قرار داده شد. پس از خنثی سازی، با قیمانده نمونه جهت از بین بردن سیلیس موجود در آن به مدت ۲۴ ساعت در اسید فلوریدریک ۳٪ قرار داده شدند. بعد از خنثی سازی مجدد، نمونه‌ها از الک ۲۰۰ میکرون عبور داده شدند و با استفاده از محلول کلرید روی ($ZnCl_2$) سانتریفیوژ شده و پالینومورفها از عنانصر سنگین و سایر مواد جدا گردیدند. در نهایت نیز اسلایدهای تهیه شده با میکروسکپ نوری Nikon

روش مطالعه

با توجه به اطلاعات جمع آوری شده در زمینه امکان وجود پالینومورفها در سنگهای رسوبی سازند سرچشمه و بررسیهای مقدماتی، مناسب‌ترین برش جهت نمونه برداری انتخاب گردید. سپس از قسمت‌های شیلی و مارنی با فواصل معین و همچنین با تغییرات سنگ شناسی، نمونه برداری از عمق ۲۰ تا ۳۰ سانتی متری انجام شد. بدین طریق تعداد ۳۵ نمونه از برش ددانلو برداشت شد که از این میان ۲۷ نمونه نرم و سست جهت آماده سازی و مطالعه محتوای پالینولوژیکی انتخاب گردید. نمونه‌های برداشت شده برای آماده سازی به آزمایشگاه پالینولوژی دانشگاه آزاد اسلامی مشهد منتقل و با

مجهز به دوربین عکسبرداری و با لنزهای با بزرگنمایی ۱۰ تا ۱۰۰ مورد مطالعه قرار گرفتند.

بحث

به طور کلی از شرق به غرب حوضه کپه داغ ضخامت سازند سرچشمه افزایش می‌یابد. این سازند در محل برش الگو ۳۱۰ متر ضخامت دارد و شامل دو بخش است. بخش زیرین از ۱۷۸ متر مارن یکنواخت و بخش بالایی از ۱۳۲ متر شیل تشکیل شده است (افشار حرب، ۱۳۷۳). سازند سرچشمه در برش روستای ددانلو به صورت پیوسته و همшиб بر روی سازند تیرگان و به طور همшиб در زیر شیلهای سازند سنگانه قرار گرفته است. سازند سرچشمه در برش ددانلو به ضخامت ۲۴۸ متر شامل مارن خاکستری، شیلهای خاکستری تیره مایل به سبز و میان لایه‌هایی از سنگ آهک فسیل دار می‌باشد. حدود ۲۱ متر از این سازند هم دارای پوشش بوده و قابل نمونه برداری نمی‌باشد (شکل ۲).

برای مطالعه پالینولوژی سازند سرچشمه در مجموع ۳۷ گونه متعلق به ۲۹ جنس از داینوفلازله‌ها به همراه تعدادی از اسپور و پولنها شناسایی گردیده است (پلیتهای ۱ و ۲). داینوفلازله‌های شناسایی شده در این برش به شرح زیر می‌باشند:

Achomosphaera neptunii, *Achomosphaera ramulifera*, *Apteodinium thellium*, *Batiacasphaera* sp., *Bourkidinium granulatum*, *Canningia reticulate*, *Cassiculosphaeridia reticulate*, *Cerbia tabulata*, *Circulodinium distinctum*, *Circulodinium* sp., *Cliestosphaeridium* sp., *Cometodinium* sp., *Cribroperidinium orthoceras*, *Cribroperidinium* sp., *Cyclonephelium brevispinosum*, *Cyclonephelium distinctum*, *Florentinia cooksonia*, *Florentinia deanei*, *Florentinia mantelli*, *Gonyaulacysta* sp., *Hystrichosphaeridium atlasiense*, *Kleithriaspaenidium eoinodes*, *Kiokansium polypes*, *Kiokansium* sp., *Muderongia pariata*, *Muderongia tomaszowensis*, *Odontochitina operculata*, *Oligosphaeridium*

asterigerum, *Oligosphaeridium complex*, *Oligosphaeridium poculum*, *Oligosphaeridium prosum*, *Oligosphaeridium totum*, *Paleaoperidinium cretaceum*, *Prolixosphaeridium parvispinum*, *Pseudoceratium pelliferum*, *Pseudoceratium retusum*, *Pterodinium* sp., *Spiniferites ramosus*, *Spiniferites* sp., *Subtilisphaera* sp., *Subtilisphaera perlucida*, *Systematophora* sp., *Tanyosphaeridium* sp., *Tenua hystrix*.

در میان نمونه‌های ثبت شده در اسلامیده، فراوان‌ترین گونه‌ها متعلق به تاکساهای زیر می‌باشند:

Cribroperidinium orthoceras, *Oligosphaeridium complex*, *Pseudoceratium retusum*, *Paleoperidinium cretaceum*, *Subtilisphaera* sp.

سیستهای داینوفلازله‌ها در این برش شامل فرمهای کوریت (Proximate)، کویت (Cavate)، پروکسیمیت (Chorate) و پروکسیموکوریت (Proximochorate) می‌باشد که فرمهای کوریت بیشترین درصد و فرمهای پروکسیمیت، کویت و پروکسیموکوریت در رده‌های بعدی قرار می‌گیرند. از دیگر پالینومورفهای موجود در نمونه‌ها می‌توان به پولنها دوباله، اسپورها، آستر داخلی فرامینیفرها، بدنه و اسپور قارچها و آکریتارشها اشاره کرد (حبیب اللهی، ۱۳۸۹).

از میان پالینومورفهای شناسایی شده در سازند سرچشمه، نمونه‌هایی مانند *Cerbia Achomosphaera neptunii* و *Subtilisphaera tabulata* در نقاط مختلف دنیا از آپتین پسین گزارش شده‌اند (دیوی و وردیر، ۱۹۷۴). گونه‌های *Kiokansium Cyclonephelium distinctum* و *Oligosphaeridium Odontochitina operculata* نیز توسط افراد مختلف از رسوبات آپتین کانادا گزارش شده‌اند (کیمیایی، ۲۰۰۰). گونه‌های *Cerbia tabulata*, *Cassiculosphaeridia reticulata* و *Oligosphaeridium complex* در استرالیا، جنوب شرق فرانسه و جنوب آلپ ایتالیا از آپتین پیشین معرفی شده

بخشی از *Odontochitina operculata* oppel zone در نظر گرفته می‌شود (شکل ۲).

پالئواکولوژی

استفاده از پالینومورفها در تعیین و تفسیر مباحث پالئواکولوژی نیاز به شناسایی و تفسیر دقیق پالینومورفها و عناصر مختلف پالینولوژیکی دارد. برای این منظور در کلیه نمونه‌های تهیه شده تعداد ۴۰۰ ذره از خرده‌های آلی شامل انواع داینوسیستها، پالینوماسرالها و SOM با انتخاب چندین میدان دید به صورت تصادفی شمارش شد. پس از آن درصد عناصر مختلف پالینولوژیکی به دست آمد (جدول ۱). خرده‌های آلی موجود در اسلایدهای پالینولوژیکی به دو دسته تقسیم می‌شوند که عبارتند از:

۱- خرده‌های نابرجا یا حمل شده (*Allochthonous*): که براساس شناوری به ۴ نوع پالینوماسرال (Palynomaceral) تقسیم می‌شوند.

۲- خرده‌های برجا (*Autochthonous*): این قطعات تا حد زیادی تحت تأثیر عوامل اکولوژیکی قرار دارند و شامل داینوسیستها، آکریتارشها، جلبکهای سبز دریایی، آستر داخلی پوسته فرامینیفرها و همچنین SOM یا مواد آلی بدون ساختمان می‌باشند (واندرزووان، ۱۹۹۰).

داینوفلازله‌ها و تعیین محیط

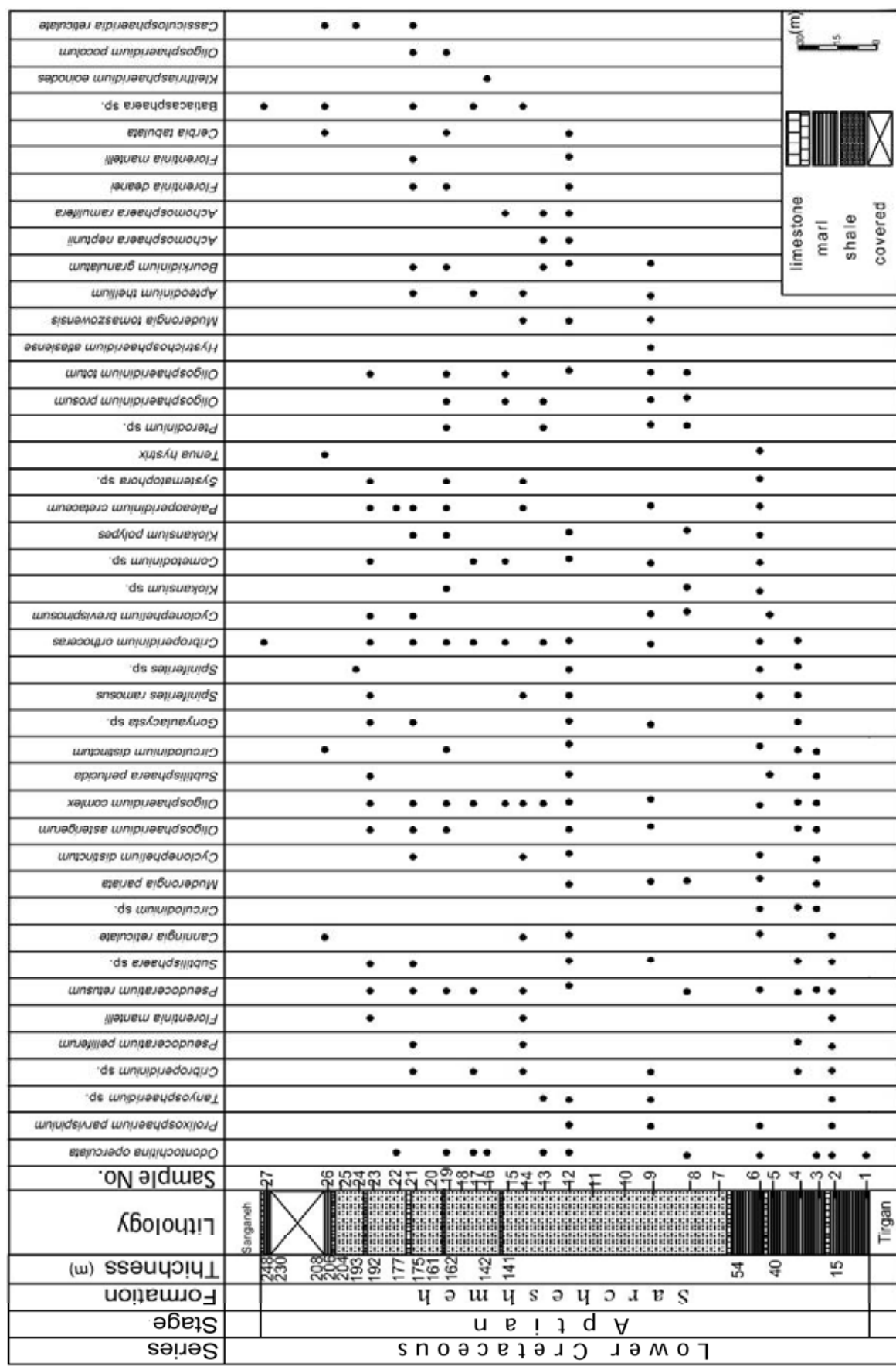
افزایش شدید ماسرالها و کاهش SOM در بخش عمده‌ای از نمونه‌ها نشان می‌دهد که یک پسروی شدید در دریا به وقوع پیوسته، عمق حوضه کاهش یافته و انرژی محیط بالا بوده است. سیستهای با دیواره ضخیم و شکل گویت با شرایط انرژی بالا و دریایی کم عمق مطابقت دارند و فرم‌های کوریت بیشتر ساکن محیط‌های آرام، کم انرژی و عمیق می‌باشند (قاسمی نژاد و همکاران، ۱۹۹۹).

(استور، ۱۹۹۶) و برخی از گونه‌ها نظیر *Achomosphaera brevispinosum neptunii*, *Cyclonephelium Paleaoperidinium*, *Oligosphaeridium poculum* مختلف تا انتهای آپتین دیده شده‌اند (اسکوپین، ۲۰۰۶). بنابراین و با توجه به مجموعه داینوفلازله‌های موجود، سن سازند سرچشمه در برش ددانلو آپتین تعیین می‌گردد. سن این سازند بر اساس وجود روزن‌داران نیز توسط کلاسیتری آپتین تعیین شده است (افشار حرب، ۱۳۷۳).

پالینوزوناسیون سازند سرچشمه در برش ددانلو

ویلسون (۱۹۸۴) پالینوزون *Odontochitina operculata* در نیوزلند را به اشکوب آپتین نسبت داده است. هلبی و همکاران (۱۹۸۷) بایوزون *Muderongia* معرفی oppel zone می‌کند که قاعده آن با اولین ظهور *Odontochitina* *Pseudoceratium operculata* و انتهای آن با ظهور *turneri* مشخص می‌گردد. مورگان (۱۹۸۰) برای این زون سن آپتین را پیشنهاد کرده است. اوستینگ و همکاران (۲۰۰۶) با مقایسه و انطباق مجموعه داینوفلازله‌های قلمرو تیس با برشهایی در غرب استرالیا از قلمرو استرالیایی و با توجه به زون بندیهای انجام شده در در این قلمرو توسط Odontochitina و همکاران (۱۹۸۷ و ۲۰۰۴)، زون هلبی را برای آپتین معرفی می‌کنند.

با توجه به حضور گونه شاخص *Odontochitina operculata* در نمونه‌های سازند سرچشمه در برش ددانلو، اولین ظهور این گونه به قبل از نمونه شماره ۱ می‌رسد و حد پایینی آن در این برش وجود ندارد. بنابراین داینوفلازله‌های شناسایی شده در این برش، نیز با زون *Odontochitina operculata* انطباق دارد و برش مورد مطالعه به عنوان



جدول ۱: درصد فراوانی عناصر پالینولوژیکی در سازند سرچشمه در برش ددانلو

Sample No.	PM4 هم بعد	تیغه‌ای PM4(B)	PM3	PM2	PM1	SOM (OP)	SOM (T)	MP	Spore & pollen
۲۷	۵۵/۷	۱۹/۳	۳/۹	۸/۵	۵/۶	۱	۱/۶	۰/۳	۳/۹
۲۶	۵۰/۹	۲۱	۱/۱	۴/۸	۹/۲	۲/۲	۳	۳	۴/۸
۲۵	۳۸/۵	۱۰/۱	۰/۷	۲/۲	۱/۴	۱/۸	۰/۴	۰	۰
۲۴	۴۸/۳	۸/۵	۳/۱	۶/۵	۸/۸	۶/۸	۴/۱	۱۲/۲	۱/۷
۲۳	۶۵/۵	۱۸/۵	۰/۳	۲/۴	۰/۷	۹/۸	۰	۰/۷	۰
۲۲	۵۰/۹	۹/۶	۳/۱	۷/۶	۴/۱	۳/۴	۵/۲	۱۲	۴/۱
۲۱	۶۱/۸	۱۴/۸	۲/۵	۵/۴	۶/۹	۲/۵	۱/۶	۱/۹	۲/۵
۲۰	۶۶/۳	۱۱	۱/۷	۴/۳	۹	۲/۳	۰/۷	۲/۷	۲
۱۹	۷۰/۹	۱۱/۷	۱/۲	۴/۳	۵/۵	۳/۷	۲/۸	۰	۰
۱۸	۶۳/۹	۱۰/۷	۲/۴	۶/۲	۷/۶	۳/۸	۱/۴	۱/۷	۲/۴
۱۷	۷۱/۵	۱۱	۱	۴/۵	۲/۶	۴/۵	۱/۹	۲/۹	۰
۱۶	۶۷/۳	۱۶/۱	۳/۵	۶	۴/۵	۱	۰	۱/۵	۰
۱۵	۵۶/۹	۱۲/۶	۳/۷	۴/۶	۸/۳	۴/۶	۱/۸	۵/۲	۲/۲
۱۴	۶۱/۷	۱۷/۵	۲/۶	۶/۹	۴	۲/۳	۳	۰/۷	۱/۳
۱۳	۵۸/۸	۲۱/۲	۱	۷/۸	۶/۹	۰/۷	۱	۰	۲/۶
۱۲	۵۸/۵	۱۴/۷	۲/۶	۴/۸	۷	۲/۹	۲/۶	۵/۱	۱/۹
۱۱	۶۶/۶	۱۷	۱/۹	۳/۷	۳/۴	۲/۸	۱/۹	۱/۹	۰/۹
۱۰	۶۲/۷	۱۵/۷	۱/۳	۵/۲	۷/۲	۱/۶	۲/۳	۱/۳	۲/۶
۹	۵۶/۵	۱۱/۵	۳/۸	۸/۴	۱۰/۷	۲/۳	۳/۱	۰	۳/۸
۸	۶۲/۷	۱۵/۷	۲	۶/۹	۹/۸	۲	۱	۰	۰
۷	۶۷/۱	۱۳/۵	۱/۶	۶/۱	۴/۵	۳/۹	۰/۶	۲/۶	۰
۶	۶۴/۶	۱۶/۳	۲	۵/۴	۶/۱	۳/۴	۲	۰	۰
۵	۵۵/۲	۱۱/۶	۱/۸	۶/۶	۹/۳	۵/۱	۱/۸	۵/۴	۳/۳
۴	۵۸/۹	۱۴/۶	۱/۳	۳/۸	۴/۷	۷/۳	۳/۸	۳/۸	۱/۹
۳	۵۱/۸	۱۱/۲	۴/۱	۸/۸	۵/۳	۷/۱	۲/۹	۶/۵	۲/۴
۲	۶۰/۵	۱۵/۱	۴/۳	۹/۲	۵/۹	۲/۲	۱/۱	۰	۱/۶
۱	۵۳/۸	۲۲/۷	۳/۱	۶/۷	۴/۴	۴	۱/۳	۰/۹	۳/۱

PM = پالینومورف دریایی؛ PM1 = پالینوماسرال نوع ۱؛ PM2 = پالینوماسرال نوع ۲؛ PM3 = پالینوماسرال نوع ۳؛ PM4 = پالینوماسرال نوع ۴؛ SOM = مواد آلی بدون ساختمان تیره؛ SOM (T) = مواد آلی بدون ساختمان روشن

جنسهایی نظیر *Cribroperidinium* و *Circulodinium* هم شاخص شرایط نریتیک داخلی هستند (محمود و مowaed, ۲۰۰۰).

ویلپ شار (۱۹۹۴) در شیلهای آپتین - آلبین حوضه سرژیپ (Sergip Basin) در شمال شرق برزیل سه تجمع داینوسیستی را نشان داده است. تجمع اول وی دارای *Exochosphaeridium*, *Cyclonephelium*، *Tanyosphaeridium* و *Cannosphaeropsis utinensis* sp. *Open marine* باز (influence زوائد طویل و یا جنسهایی چون *Achomosphaera*, *Spiniferites* و *Florentinia* باز (Open marine neretic) یا نریتیک خارجی می‌باشد.

بر اساس تحقیقات سیگل - فارکاس (۱۹۹۷)، گونه‌های *Tanyosphaeridium* و *Cannosphaeropsis utinensis* sp. *Open marine* باز (influence زوائد طویل و یا جنسهایی چون *Achomosphaera*, *Spiniferites* و *Florentinia* باز (Open marine neretic) یا نریتیک خارجی می‌باشد.

۱۸، ۲۰، ۲۱، ۲۲، ۲۳، ۲۴، ۲۵ و ۲۶ که داینوفلاژله‌های آن دارای تنوع زیادی می‌باشند، معرف محیط نریتیک داخلی است.

در اسلایدهای ۱، ۲، ۶، ۸، ۹، ۱۰، ۱۳، ۱۴، ۱۹ و ۲۷ تنوع داینوفلاژله‌ها بسیار کم و در حد صفر است. افزایش شدید ماسرهایها در این اسلایدها به همراه حضور جنس *Alisporites* و افزایش اسپور و پولنهایی چون *Spiniferites*، *Cyathidites* و *Pilosporites* معرف محیط نریتیک داخلی به سمت ساحل می‌باشد.

نسبت SOM شفاف به SOM تیره

اکسیژن به عنوان یکی از عوامل مهم در پالئوکلولژی و مخصوصاً بازسازی محیط رسوب گذاری دریایی مطرح است زیرا میزان اکسیژن در تشکیل هیدروکربورها دارای اهمیت به سزایی است. مطالعه داینوفلاژلهای امروزی نشان می‌دهد وجود اکسیژن کنترل زیادی روی خروج از سیست داینوفلاژلهای دارد. شرایط بی‌هوایی به طور کامل مانع خروج در بیشتر رده‌ها می‌شود (اسلویجس و همکاران، ۲۰۰۵). با وجود اکسیژن، باکتریهای هوایی با استفاده از اکسیژن محلول در آب قادر به تجزیه مواد آلی خواهند بود و در صورت بالا بودن تجزیه مواد آلی تمام اکسیژن و هیدروژن خود را از دست داده و فقط مقدار کمی کربن باقی می‌ماند و SOM رنگ تیره پیدا می‌کند. باکتریهای بی‌هوایی در محیطی فاقد اکسیژن، کمی پایین‌تر از سطح رسوب، SOM شفاف را ایجاد می‌کنند (تايسون، ۱۹۹۳؛ واورن و ويچر، ۱۹۹۴). اگر نرخ رسوب گذاری بالا باشد باکتریها به دلیل زمان کم قادر نخواهند بود مواد آلی را تجزیه و تخریب کنند و در نتیجه حفظ شدگی مواد آلی بیشتر خواهد بود. همچنین در شرایط بدون اکسیژن و نرخ رسوب گذاری پایین، SOM شفاف از سایر عناصر پالینولوژیکی مانند ماسرهایها بوجود می‌آیند (زونولد و

Prolixophaeridium, *Oligosphaeridium*, *Florentinia* بوده و محیط رسوبی دریای باز (نریتیک) را نشان می‌دهد. از این تجمع داینوسیستهای *Oligosphaeridium*, *Exochosphaeridium* و *Spiniferites* به محیط نریتیک باز (Open neritic) تعلق دارند. وجود *Cyclonephelium* هم میان محیط رسوبی نزدیک به ساحل می‌باشد. تجمع دوم معرفی شده توسط ویلپ شار (۱۹۹۴) دارای داینوسیستهای *Cribroperidinium*, *Subtilisphaera* و *Paleoperidinium* می‌باشد که شاخص محیط دریایی محدود هستند غیر از *Cribroperidinium* که یک محیط نریتیک داخلی را نشان می‌دهد. در این میان *Subtilisphaera* در یک محیط با شوری کم دیده می‌شود. تجمع سوم وی نیز شامل داینوسیستهای *Apteodinium*, *Tanyosphaeridium* و *Odontochitina*, *Circulodinium* است که جنسهای *Circulodinium* و *Tanyosphaeridium* آن را شاخص دریای باز می‌دانند. همچنین جنسهای *Odontochitina* و *Apteodinium* نشانگر محیط نریتیک داخلی هستند.

با توجه به مطالبی که بیان شد، در اسلایدهای شماره ۳، ۵، ۷، ۱۲، ۱۵، ۲۲ و ۲۴ که داینوفلاژلهای بیشتری نسبت به نمونه‌های دیگر دارند، حضور جنسهای زیر معرف محیط نریتیک میانی تا خارجی می‌باشد:

Achomosphaera, *Biurkinidinium*, *Circulodinium*, *Exochosphaeridium*, *Florentinia*, *Oligosphaeridium*, *Systematophora*, *Tanyosphaeridium*.

افزایش نسبی فرمهای کوریت به فرمهای پروکسیمیت و کویت در این نمونه‌ها می‌تواند نشانه پیش‌روی و افزایش عمق حوضه رسوبی باشد. حضور جنسهای *Apteodinium*, *Cribroperidinium*, *Circulodinium*, *Canningia* و *Paleoperidinium*, *Odontochitina*, *Muderongia* در اسلایدهای شماره ۴، ۱۱، ۱۵، ۱۶، ۱۷، ۱۸، ۱۹، ۲۰، ۲۱، ۲۲، ۲۳، ۲۴، ۲۵، ۲۶ و ۲۷ *Subtilisphaera*

نسبت SOM شفاف به پالینومورف دریایی (PM) و SOM تیره به پالینومورف دریایی چنانچه سرعت رسوب گذاری پایین و میزان اکسیژن محیط کم باشد، پالینومورفها به SOM شفاف تبدیل می‌شوند و اگر محیط غنی از اکسیژن و سرعت رسوب گذاری پایین باشد، پالینومورفها به SOM تیره تبدیل می‌شوند (تایسون، ۱۹۹۳؛ بمباردیر و گورین، ۲۰۰۰). بنابراین افزایش SOM شفاف به پالینومورف دریایی میان شرایط کم اکسیژن تا فاقد اکسیژن و سرعت رسوب گذاری پایین و افزایش نسبت SOM تیره به پالینومورف دریایی نشان دهنده شرایط اکسیژن دار است. همچنین افزایش پالینومورفهای دریایی نشان دهنده شرایط فاقد اکسیژن و نرخ رسوب گذاری بالا است.

بررسیهای انجام شده نشان می‌دهد در بخش‌های ابتدایی سازند نسبت SOM به پالینومورفهای دریایی بالاست، ولی در نمونه‌های شماره ۵، ۱۲، ۱۵، ۲۲، ۲۴ بر میزان تنواع و فراوانی داینو فلاژله‌ها افزوده و به طور نسبی از میزان SOM کاسته می‌شود. این مسئله میان حفظ شدگی نسبتاً خوب مواد آلی در این بخش است (شکل ۳).

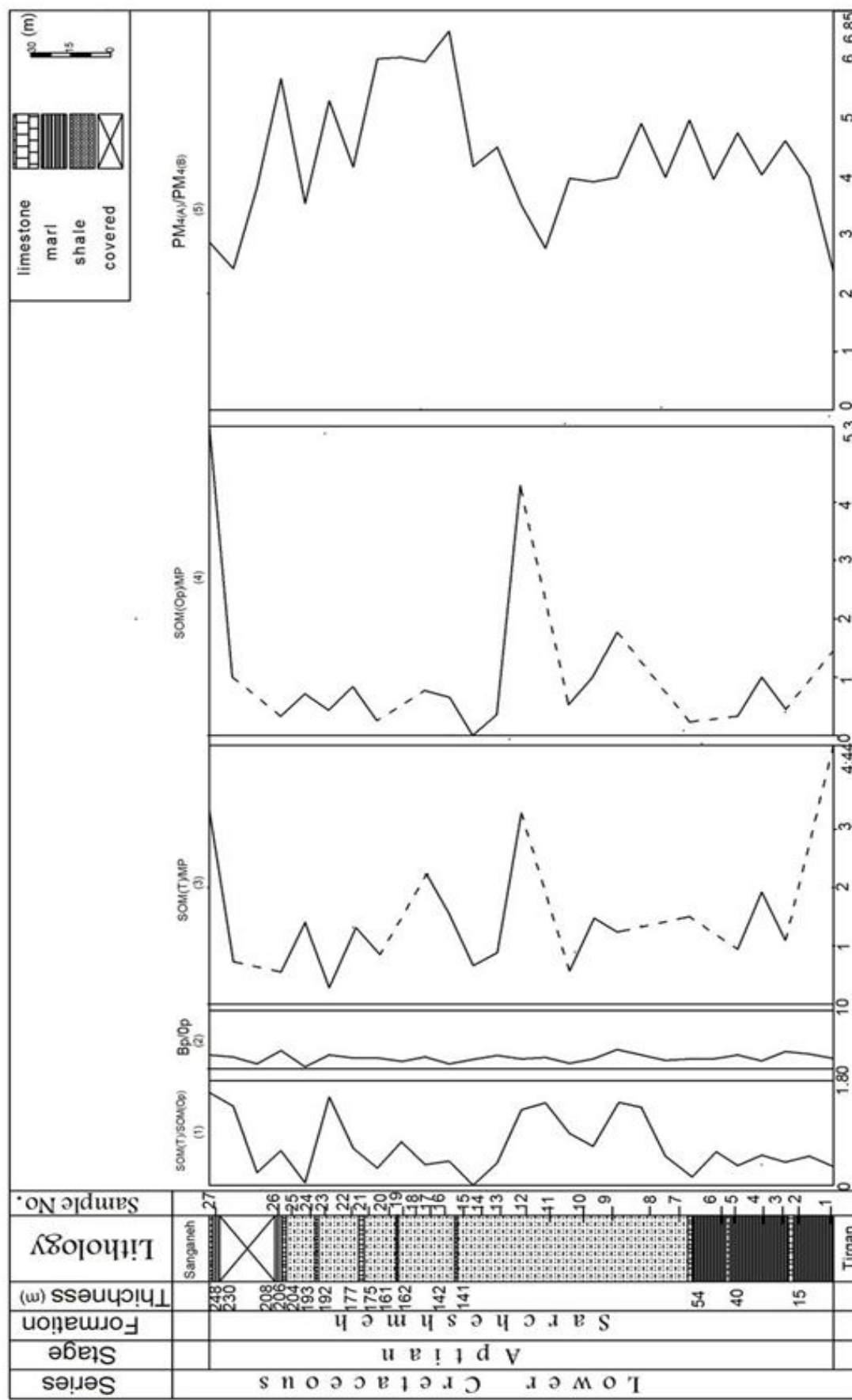
نسبت پالینوماسرالهای اپک هم بعد PM4(A) به پالینوماسرالهای تیغه‌ای شکل PM4(B) این عامل در کنار عامل لایلیتی می‌تواند نشان دهنده انرژی محیط باشد. پالینوماسرالهای اپک تیغه‌ای شکل به دلیل شناوری بسیار بالا می‌توانند مسافت زیادی را طی نمایند و اساساً در محیط‌های دور از ساحل فراوان‌ترند (بولتر و ریدیک، ۱۹۸۶). در بررسی نمودار پالینوماسرالهای اپک هم بعد به پالینوماسرالهای تیغه‌ای شکل، به طور کلی نسبت بالای پالینوماسرالهای اپک هم بعد نشانه‌ای دیگر از عمق کم حوضه رسوب گذاری می‌باشد (شکل ۳).

همکاران، ۱۹۹۷). چنانچه نسبت SOM شفاف (SOMT) به SOM تیره (SOMP) بیش از یک باشد شرایط فاقد اکسیژن و اگر این نسبت کمتر از یک باشد، شرایط اکسیژن دار است (بمباردیر و همکاران، ۲۰۰۰).

بررسی این عامل در نمونه‌های سازند سرچشمه در برش مورد مطالعه نشان می‌دهد که این نسبت در طول سازند متغیر است. این نسبت در نمونه‌های شماره ۹، ۱۰، ۱۳، ۱۴، ۲۲، ۲۶ و ۲۷ بیشتر از یک و در نمونه‌های شماره ۱، ۲، ۳، ۴، ۵، ۶، ۷، ۸، ۱۱، ۱۲، ۱۵، ۱۷، ۱۸، ۱۹، ۲۰، ۲۳، ۲۴ و ۲۵ کمتر از یک است و نشان دهنده محیط اکسیژن دار می‌باشد. به طور کلی از قاعده به سمت رأس سازند اکسیژن محیط کاهش پیدا کرده است (شکل ۳).

عامل لایلیتی (Lability)

لایلیتی نسبت ماسرالهای قهقهه ای به ماسرالهای تیره (BP/OP) است و درجه حفظ شدگی مواد آلی و میزان تغییرات سطح آب دریا را نشان می‌دهد. ماسرالهای قهقهه ای وابسته به گیاهان خشکی بوده، نشان دهنده محیط نزدیک به ساحل هستند و در سطح آب دریا یا در طول ستون اکسیده شده و تولید ماسرالهای اپک می‌کنند. ماسرالهای اپک تیره رنگ هستند و یک محیط نیمه اکسیدان نیمه آرام دور از ساحل را نشان می‌دهند. این ماسرالها در مناطق دور از ساحل افزایش می‌یابند و به دلیل خاصیت شناوری و مقاومت بالاتر دارای توانایی بیشتر برای حمل تا مسافتهای دورتر می‌باشند. بررسی عامل لایلیتی در سازند سرچشمه در برش ددانلو نشان می‌دهد میزان ماسرالهای قهقهه ای به ماسرالهای اپک پایین است. پایین بودن این عامل شرایط اکسیدان را نشان می‌دهد (شکل ۳).



شکل ۳: نمایش تغییرات میزان نسبت SOM روشن به تیره (۱)، پالینوسرالهای قهوه‌ای به اپک (۲)، SOM روشن به پالینومورفهای دریابی (۳)، پالینوسرال اپک هم بعد به پالینوسرال اپک تغییرات پالینوسرال اپک هم بعد به پالینوسرال اپک تغییرات (۴).

نتیجه‌گیری

است. حضور پالینومورفهای مانند بدنه و اسپور قارچها وجود آب و هوای گرم در زمان تشکیل طبقات رسوبی سازند سرچشم در برش ددانلو را تأیید می‌کند. از مطالعه و بررسی آماری عوامل حفاظت از مواد آلی مانند نسبت SOM شفاف به تیره، عامل لایلیتی و نسبت SOM به پالینومورفهای دریابی سازند سرچشم در برش ددانلو چنین استبطاط می‌شود که نرخ رسوب گذاری و میزان اکسیژن محیط متغیر بوده و به طور کلی از قاعده به سمت رأس سازند اکسیژن محیط کاهش پیدا کرده است.

با مطالعه پالینومورفهای موجود در برش ددانلو از سازند سرچشم تعداد ۲۹ جنس و ۳۷ گونه از داینوفلازله‌ها شناسایی شد. با توجه به مجموعه داینوفلازله‌های شناسایی شده، سن سازند سرچشم در برش ددانلو آپتین تعیین شد. این سن با سنی که قبل از استفاده از روزن‌داران تعیین شده بود، مطابقت دارد. با توجه به ظهور گونه *Odontochitina operculata* قبل از قاعده برش، این برش در بخشی از *Odontochitina operculata oppel zone* قرار می‌گیرد. مطالعه داینوفلازله‌های شاخص محیطی در این برش نیز نشان دهنده محیط رسوبی نریتیک داخلی تا نریتیک خارجی

منابع

- افشار حرب، ع.، ۱۳۷۳. زمین شناسی ایران: زمین شناسی که داغ. سازمان زمین شناسی و اکتشافات معدنی کشور، ۲۷۵ ص.
- حیب‌اللهی، ن.، ۱۳۸۹. پالینوستراتیگرافی سازند سرچشم در برش ددانلو (جنوب شرق قوچان). پایان نامه کارشناسی ارشد، دانشگاه آزاد اسلامی، واحد مشهد، ۱۳۴ ص.
- Bombardiere, L., & Gorin, G.E., 1998. Sedimentary organic matter in condensed section from distal oxic environments: examples from the Mesozoic of SE France. *Sedimentology*, 45: 771-788.
- Bombardiere, L., & Gorin, G.E., 2000. Stratigraphical and distribution of sedimentary organic matter in Upper Jurassic Carnonates of SE France. *Sedimentary Geology*, 132: 177-203.
- Boulter, M.C., & Riddick, A., 1986. Classification and analysis of palynodebris from the palaeocene sediments of the Forties Field. *Sedimentology*, 33: 871-886.
- Davey, R.J., & Verdier, J.P., 1974. Dinoflagellate Cysts from the Aptian type section at Gargas and La Bedoule, France. *Palaeontology*, 17 (3): 623-653.
- Ghasemi-Nejad, E., Sarjeant, W.A.S., & Gygi, R., 1999. Palynology and Paleoenvironments of the uppermost Bathonian and Oxfordian (Jurassic) of the Northern Switzerland sedimentary basin. *Memori Svizzere di Paleontologia*, 119: 69p.
- Helby, R., Morgan, R., & Patridge, A.D., 1987. A palynological zonation of the Australian Mesozoic. *Mem. Ass. Australas. Palaeontols*, 4: 1-99.
- Kimyai, A., 2000. Palynology and Biostratigraphy of the Lower Cretaceous sediments in the South Barrow Test well No.1. Point Barrow, Alaska. *Palynology*, 24: 101-215.
- Mahmoud, M.S., & Moawad, A.R.M.M., 2000. Jurassic – Cretaceous (Bathonian to Cenomanian) Palynology and stratigraphy of the west Tiba – 1 borehole, Northern Western Desert Egypt. *Journal of Africa Earth Science*, 30: 401-416.
- Morgan, R., 1980. Palynostratigraphy of the Australian Early and Middle Cretaceous. *Memoirs of the Geological Survey of New South Wales, Palaeontology*, 18: 153p.
- Oosting A.M., Leereveld, H., Dickens, G.R., Henderson, R.A., & Brinkhuis, H., 2006. Correlation of Barremian–Aptian (mid-Cretaceous) dinoflagellate cyst assemblage between the Tethyan and Austral realms. *Cretaceous Research*, 27: 792-813.
- Siegl-Farkas, A., 1997. Dinoflagellate stratigraphy of the Senonian Formations of the Transdanubian Range. *Acta Geologica Hungarica*, 40 (1): 73-100.

- Skupien, P., 2003. Dinoflagellate study of the lower Cretaceous deposits in the Pieniny Klippen Belt. *Rochovia* section, Slovak Western Carpathiana. *Bulletin of the Czech Geological Survey*, 78: 67-82.
- Sluijs, A., Pross, J., & Brinkhuis, H., 2005. From greenhouse to icehouse organic-walled dinoflagellate cysts as Paleoenvironmental indicators in the paleogene. *Earth Science Reviews*, 68: 281-315.
- Stover, L.E., 1996. Mesozoic, Tertiary dinoflagellates, acritarchs and prasinophytes. *American Association of Stratigraphic Palynologists Foundation*, 2: 641-750.
- Travers, A., 2007. Paleopalynology. 2nd Edition, Springer, 813 p.
- Tyson, R., 1993. Palynofacies analysis. *Applied Micropaleontology*, p.153-191.
- Van Der Zwan, C.J., 1990. Palynostratigraphy and palynofacies reconstruction of the Upper Jurassic to Lowermost Cretaceous of the Dra field, offshore Mid Norway. *Review of Palaeobotany and Palynology*, 62: 157-186.
- Waveren, I., & Visscher, H., 1994. Analysis of the composition and selective preservation of organic matter in surfical deep-sea sediment from a high – Productivity area (Bandasa, Indonesia). *Palaeogeography, Palaeoclimatology, Palaeoecology*, 112: 85-111.
- Wilpshaar, M., & Leereveld, H., 1994. Palaeoenvironmental change in the Early Cretaceous Vocontian Basin (SE France) reflected by dinoflagellate cysts. *Review of Palaeobotany and Palynology*, 84 (1-2): 121-128.
- Wilson, G.J., 1984. New Zealand Late Jurassic to Eocene Dinoflagellate Biostratigraphy. *Newsletters on Stratigraphy*, 13: 104-117.
- Zonneveld, K., Versteegh, G., & Lange, G., 1997. Preservation of organic-walled dinoflagellate cyst in different oxygen regies: a 1000 year natural experiment. *Marine Micropaleontology*, 29: 393-405.

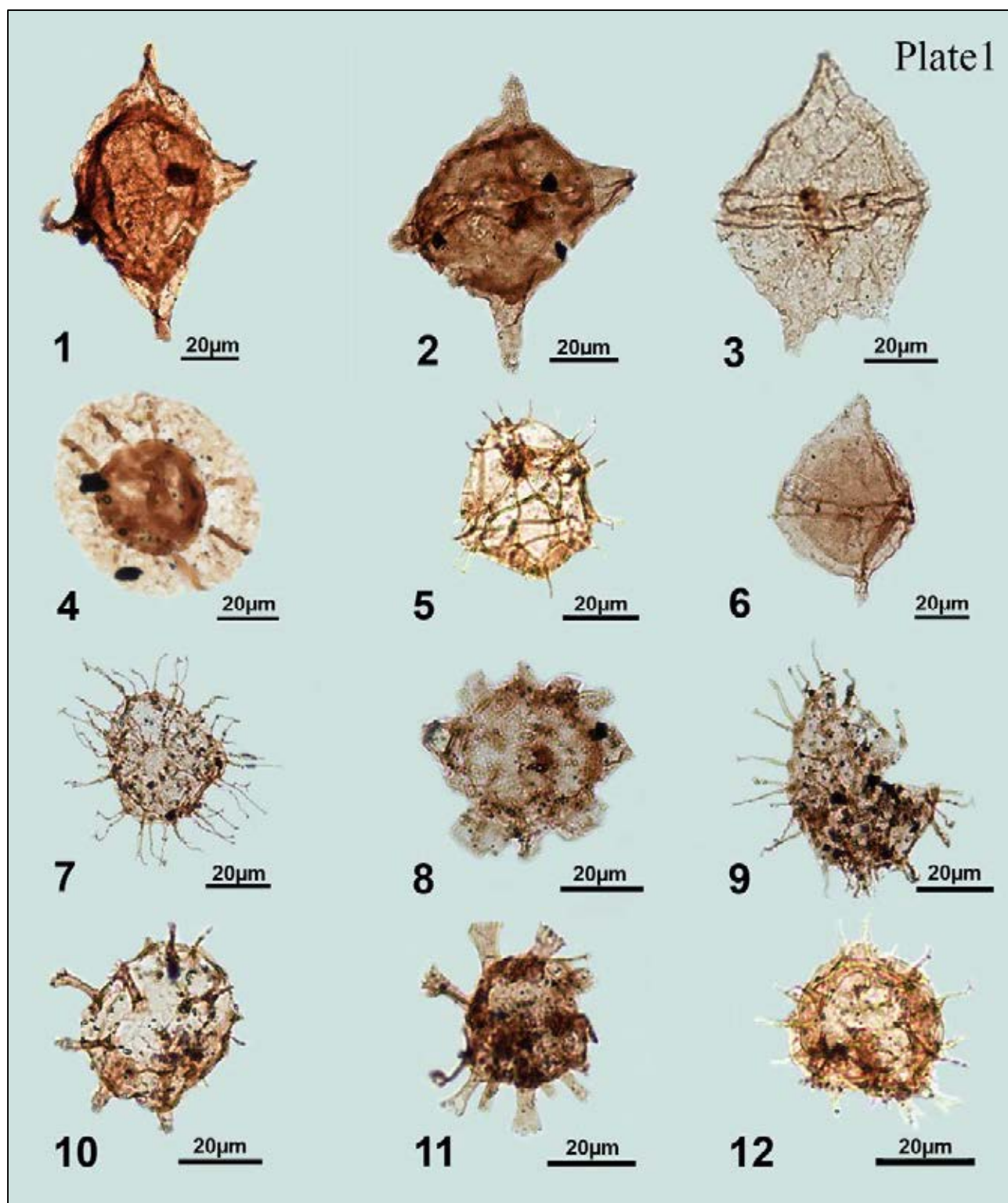


Plate 1.

Fig. 1. *Muderongia pariata*; Fig. 2. *Muderongia tomaszowensis*; Fig. 3. *Paleoperidinium cretaceum*; Fig. 4. *Pterodinium* sp.; Fig. 5. *Spiniferites ramosus*; Fig. 6. *Subtilisphaera perlucida*; Fig. 7. *Systematophora* sp.; Fig. 8. *Oligosphaeridium prosum*; Fig. 9. *Tanyosphaeridium* sp.; Fig. 10. *Kleithriasphaeridium eoinodes*; Fig. 11. *Oligosphaeridium totum*; Fig. 12. *Achomosphaera neptunii*.

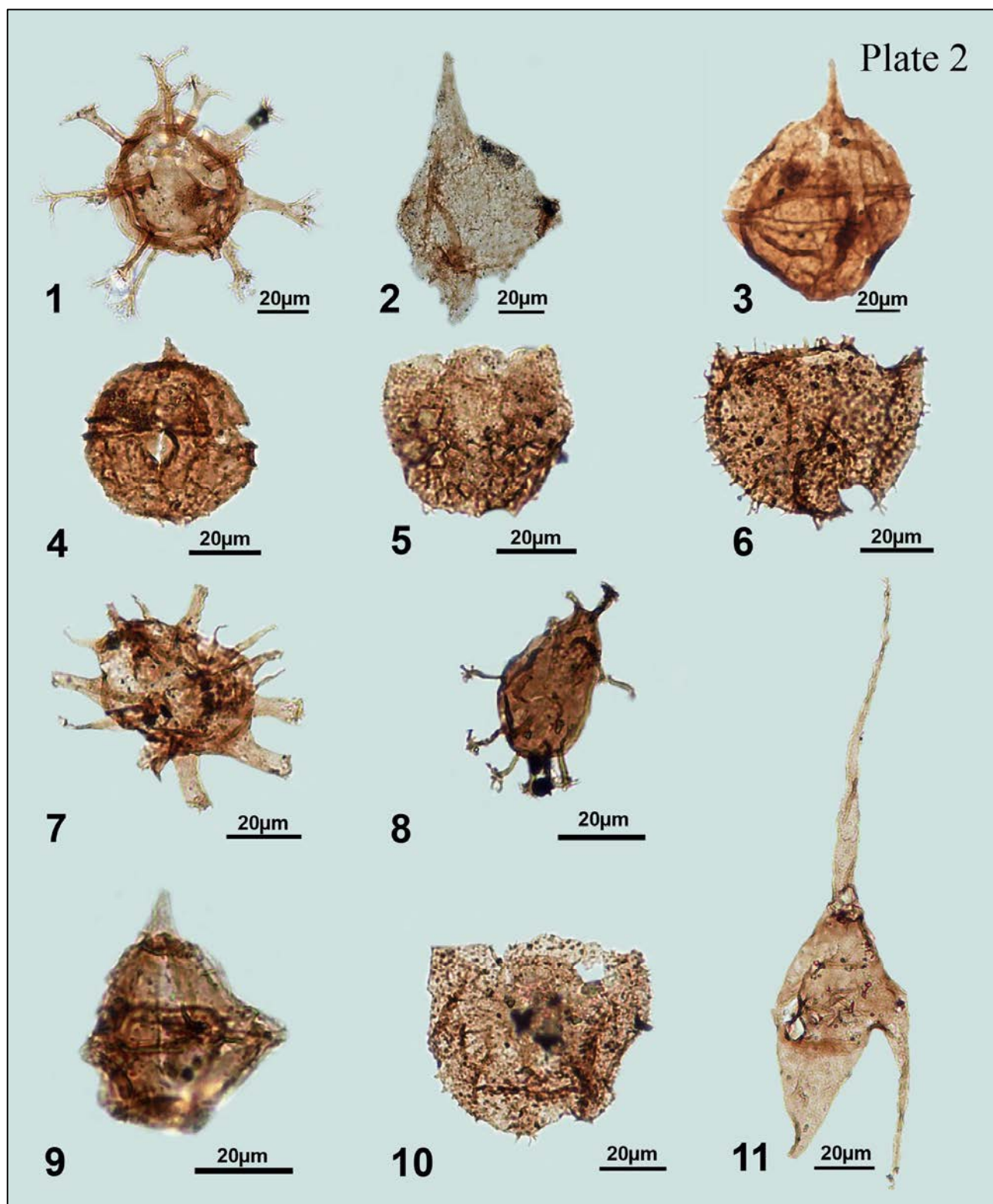


Plate 2.

Fig. 1. *Oligosphaeridium complex*; Fig. 2. *Pseudoceratium retusum*; Fig. 3. *Cribroperidinium orthoceras*; Fig. 4. *Apteodinium thellium*; Fig. 5. *Batiacasphaera* sp.; Fig. 6. *Circulodinium distinctum*; Fig. 7. *Florentinina deanei*; Fig. 8. *Bourkidinium granulatum*; Fig. 9. *Goyaulacysta* sp.; Fig. 10. *Cerbia tabulata*; Fig. 11. *Odontochitina operculata*.